

## FOTOPLASTICIMETRICKÁ ANALÝZA NAPJATOSTI HŘEBOVANÝCH KOLMÝCH SVAHŮ

### Úvod

Příspěvek obsahuje řešení napjatosti kolmých svahů, které v tomto případě představují otevřené stavební jámy pro výstavbu podzemních děl. Tyto svahy, zajišťované postupně při odkrývání vodorovnými hřeby nahrazují technologicky náročnější "Milánské stěny" nebo např. otevřené stavební jámy se šikmými svahy. Cílem práce, na základě požadavku Metrostavu, bylo zjištění napjatosti homogenních kolmých svahů s gravitačním zatížením pro různá Poissonova čísla materiálu svahu ( $\mu = 0,2; 0,3; 0,4$ ).

Pro analýzu napjatosti bylo použito modelové řešení na opticko-citlivých rovinných modelech s využitím metody odstředivého modelování a zmrazování napětí - viz /1/. Modelová metoda, tak jak byla užita řeší pružnou napjatost spojitého prostředí svahů za předpokladu homogeneity a izotropie materiálu svahu.

### Modelování

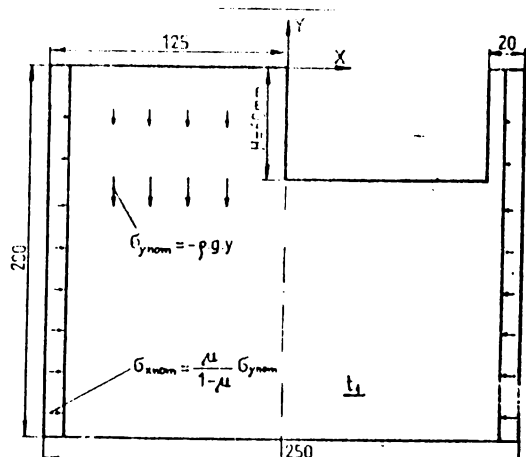
Rovinné modely modelují situaci ve svislém řezu, kolmém na podélnou osu svahu. V takovém řezu existuje stav rovinné deformace, který je experimentálně těžko proveditelný. Ulohu však lze řešit na základě analogie mezi rovinnou deformací a rovinnou napjatostí jako úlohu rovinné napjatosti, nahradíme-li Laméovu konstantu konstantou Filonovou. Z toho vyplývají vztahy pro modul pružnosti a Poissonovo číslo materiálu modelu řešeného při stavu rovinné napjatosti:

$$\bar{E} = \frac{E(1+2\mu)}{(1+\mu)^2}; \quad \bar{\mu} = \frac{\mu}{1+\mu} \quad . \quad (1)$$

Uvolníme-li ještě rovinný model na jeho okrajích (boční tlak - aplikujeme silově), je napěťový stav v daném případě nezávislý na materiálových konstantách modelu  $E$  a  $\mu$ . Vliv Poissonova čísla materiálu skutečného svahu byl však modelován nepřímo velikostí bočního tlaku  $\sigma_x = \mu / 1 - \mu \sigma_y$  na svislých okrajích modelu.

Pružná rovinná napjatost svahů byla analyzována jako funkce geometrického tvaru a zatížení, odvozeném od vlastní těžny. Celkem byly řešeny tři varianty kolmých svahů stejné geometrie pro tři různá Poissonova čísla skutečného materiálu svahu ( $\mu = 0,2; 0,3; 0,4$ ). Výkres modelů hřebovaných svahů je na obr.1.

Jednotlivé modely se liší pouze různou šírkou bočních okrajů. Tato různá šířka okrajů umožňuje po uložení do speciálního zatěžovacího zařízení, umístěného i s modelem v kabíně odstředivky, modelovat požadovaný přímkově proměnný



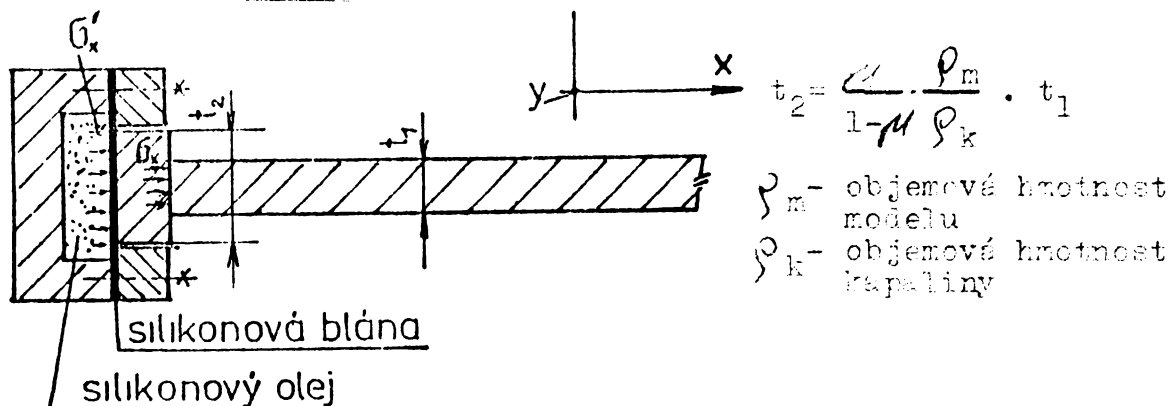
Obr.1 Optickocitlivé modely hřebovaných svahů

Model 8906 -  $\mu=0,2; t_1=10,45; t_2=3,4$

Model 8903 -  $\mu=0,3; t_1=9,8; t_2=5,8$

Model 8905 -  $\mu=0,4; t_1=10,45; t_2=9,1$

Beční tlak  $\sigma_{x,y}$  podle Poissonova čísla masivu. Schéma tohoto zařízení ve vodorevném řezu modelem je patrné z obr.2.



Obr.2 Schéma zařízení pro beční tlak

K výrobě modelů bylo použito desek žlcuťky 9,8 a 10,45 mm, odlití z epoxidové pryskyřice CHS 15, tužené anhydryidy díkarbonových kyselin maleinové a ftálové ve standardním poměru.

K zatížení a zmrzlení modelů byla použita fotoelastická odstředivka s poloměrem otáčení  $r_0 = 2500$  mm. Otáčky k zmrzování byly  $n = 220 \text{ min}^{-1}$  pro model 8905 a 8906, eventuálně  $n = 205 \text{ min}^{-1}$  pro model 8903, což dává přetížení  $\sigma_{xy}/\sigma_x = 147,8$ , event. 117,4.

Doučka na modely svahů byly v odstředivce zatěžovány a zmrzly referenční modely s vodorevným povrchem, z kterých je rotem možné určit tzv. konstantu C, zahrnující fyzikálně mechanické a optické vlastnosti modelového materiálu a odstředivé zrychlení působící na model. Fyzikální význam konstanty C je daný vztahem [1]:

$$C [n^2] = \frac{K}{\rho_m \cdot r_0 \cdot \omega^2}, \quad (1)$$

kde n - optická citlivost  $[n \cdot m^{-1}]$

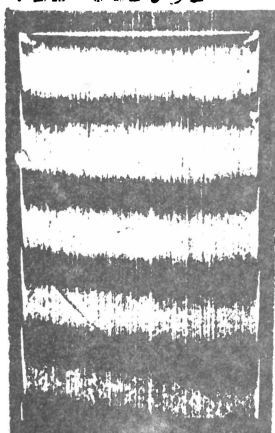
$\rho_m$  - objemová hmotnost modelového materiálu [ $\text{kg} \cdot \text{m}^{-3}$ ]

$r_o$  - efektivní poloměr otáčení modelu [m]

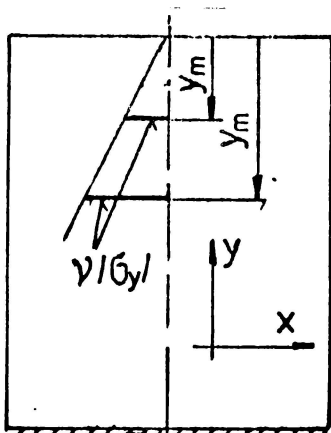
Můžeme dokázat - viz /1/, že z výše zmíněných referenčních modelů lze konstantu C určit přímo, aniž bychom znali hodnoty jednotlivých parametrů v rovnici (2) ze vztahu:

$$C [\text{m}^2] = \frac{y_m [\text{m}]}{\nu (\sigma_y) [\text{m}^{-1}]} , \quad (3)$$

neboli je to poměr souřadnice y referenčního modelu a změřeného dvojstromu v témže bodě, přepočteného na tloušťku 1 m - viz obr.3.



a)



b)

Obr.3

- a) Fotografie izochromat referenčního modelu.  
 b) Schema pro určení konstanty C.

Pro skutečnou napjatost svahů platí potom z teorie podobnosti vztah:

$$\sigma_s = \frac{l}{l_m} \cdot \rho_s \cdot g_s \cdot C \cdot \nu , \quad (4)$$

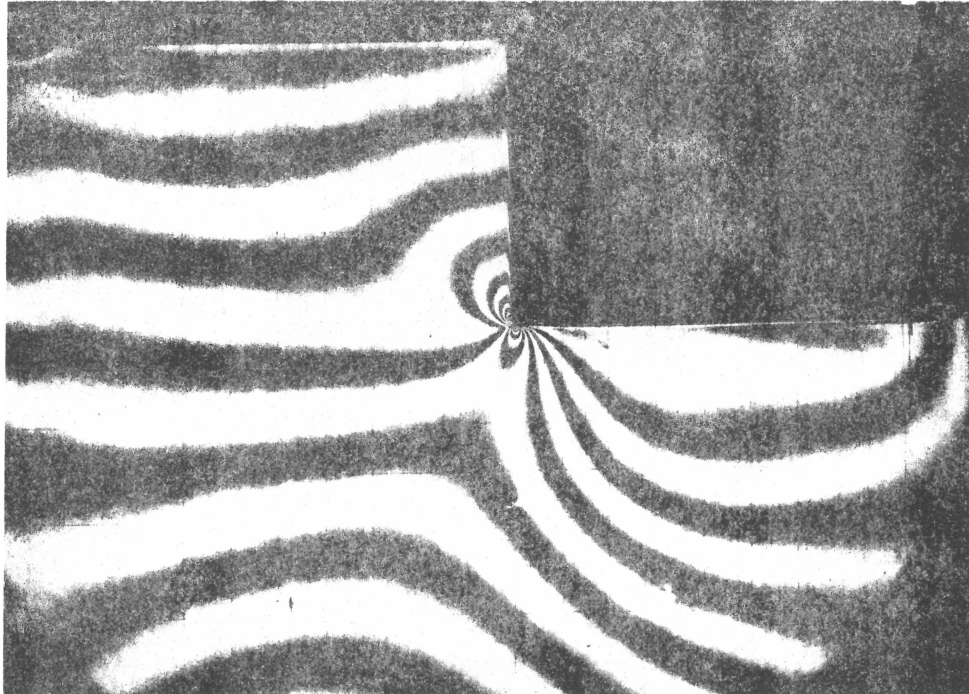
$\nu$  je modelové napětí v jednotkách dvojstromu na 1 m.

#### Výsledky měření

Zmrazené modely byly vyhodnoceny běžnými photoelastickými metodami. Fotografie izochromat jednoho modelu jsou patrné z obr.4. Kromě obvodových napětí, izokřivek maximálních smykových napětí a izostat, zjištěných přímo měřením byla ve vnitřní oblasti svahu provedena úplná analýza napětí  $\sigma_x$ ,  $\sigma_y$ ,  $\tau_{xy}$ . K tomuto účelu byla použita metoda rozdílu smykových napětí. Pro tuto metodu byl vypracován výpočetní program umožňující určovat úplnou napjatost roviných modelů na PC v jazyku BASIC.

Potřebné informace o modelech jsou uloženy pod příslušnými názvy na disketu nebo hardisku. Po vyvolání daného souboru se na displeji zobrazí schematický tvar modelu se síti měřených bodů. Výpočet lze provádět z libovolného bodu ve směru x resp. y. Zadají se souřadnice výchozího a konečného bodu a počáteční hodnota  $\sigma_x$  resp.  $\sigma_y$ . Integrační cesta se na displeji zobrazí šipkou.

Výpočet diferencí  $\Delta \tau_{xy} / \Delta y$  resp.  $\Delta \tau_{xy} / \Delta x$  probíhá podle zobecněného vztahu eliminujícího chybou 2. řádu i pro nekonstantní vzdálenosti soumezných řezů. Metoda výpočtu napětí je volitelná-numerická integrace lichoběžníkovou



Obr.4 Izochromaty celých řádů, model 8906,  $\mu = 0,2$ .

mocíciu, integrace náhradní polynomické funkce. Výsledky obou fází výpočtu se zobrazí graficky na displeji. Po opravení případných chyb se vypočtou všechny potřebné veličiny a výsledek se vytiskne do tabulky. Hodnoty  $\sigma_x$ ,  $\sigma_y$ ,  $\sigma_1$ ,  $\sigma_2$ ,  $\tau_{xy}$ ,  $\varphi$  v daném řezu je možno zobrazit i graficky.

Současná literatura: /1/ MÁLEK J.- Určování napnutosti skelních svahů pomocí opticko-čitlivých modelů, výzkumná zpráva ÚGG ČSAV Praha, 1984 /2/ MÁLEK J.- Fotoelasticometrický výzkum napnutosti hletovaných svahů, zpráva ÚGG ČSAV Praha, 1986